·临床研究•

皮肤E2F6蛋白表达水平与糖尿病周围神经病变患者 预后的相关性研究

杨敏慧1,刘爱群2,李金海3,向光红4

摘要 目的:探讨皮肤 E2F6蛋白表达水平与糖尿病周围神经病变(DPN)患者病情的相关性。方法:纳入2型糖尿病(DM)患者160例,根据有无周围神经病变分为无病变 DM组和 DPN组,各80例。健康人80例纳入对照组。比较各组外周血空腹血糖(FBS)、糖化血红蛋白(GHb)、甘油三酯(TG)、总胆固醇(TC)、胰岛素、超氧化物歧化酶(SOD)、谷胱甘肽过氧化物酶(GSH-Px)、丙二醛(MDA)及皮肤组织 E2F6蛋白表达。结果:无病变 DM组及 DPN组的 FBS、GHb、空腹胰岛素、TG和TC水平明显高于对照组(均 P<0.05)。DPN组 GHb、空腹胰岛素、TG、TC水平高于对照组(均 P<0.05),无病变 DM组及 DPN组 FBS 差异无统计学意义(P>0.05)。与对照组比,无病变 DM组、DPN组 SOD、GSH-PX和E2F6蛋白水平较低,MDA水平较高,差异有统计学意义(P<0.05);与无病变 DM组比,DPN组 SOD、GSH-PX和E2F6蛋白水平较低,MDA水平较高,差异有统计学意义(P<0.05)。结论:E2F6蛋白水平的降低可能与 DPN 的发生发展有关。

关键词 糖尿病周围神经病变;E2F6蛋白;氧化应激

中**图分类号** R741;R741.02;R745 **文献标识码** A **DOI** 10.16780/j.cnki.sjssgncj.2019.08.016 杨敏慧, 刘爱群, 李金海, 等. 皮肤 E2F6蛋白表达水平与糖尿病周围神经病变患者预后的相关性研究[J]. 神经损伤与功能重建, 2019, 14(8): 423-424.

糖尿病周围神经病(diabetic peripheral neuropathy, DPN)是糖尿病(diabetes mellitus, DM)常见的并发症之一,主要表现为手套长袜样分布的肢端疼痛、麻木、无力等,晚期可致残。慢性高血糖引起活性氧水平增高,导致机体处于氧化应激状态,损伤神经元和轴突,促进DPN发生。E2F是转录因子,参与细胞周期控制、增殖分化和凋亡等。E2F6是E2F家族成员,可能与低氧诱导的细胞凋亡有关。本研究通过检测皮肤的E2F6表达,探讨E2F6蛋白表达水平与DPN预后的相关性。

1 资料与方法

1.1 一般资料

选择2016年1月至2017年12月我科收治的2 型DM患者160例,均符合WHO关于DM的诊断标 准件,根据有无周围神经病变将DM患者分为无病 变DM组和DPN组。无病变DM组80例,男38例, 女42例;年龄41~79岁,平均(55.34±8.56)岁;平均 病程(8.97±2.21)年。DPN组80例,男37例,女43 例,年龄42~80岁,平均(54.64±5.82)岁;平均病程 (16.67±3.81)年。同期在本院就诊疑似小纤维神经 病变后排除疾病的健康人80例纳入对照组,男40 例,女40例;年龄43~78岁,平均(56.01±7.71)岁。 DPN组纳入标准:DM诊断明确;存在周围神经病变 的临床和(或)电生理证据[4];缓慢进展型周围神经 病变。排除标准:营养障碍、化学物质损害、药物中 毒等所引起周围神经病变;慢性炎症性脱髓鞘性多 发性周围神经病;结缔组织病;并发DM急重并发 症;恶性肿瘤。各组年龄、性别等一般资料差异无 统计学意义(P>0.05); DPN组的病程长于无病变 DM组,差异有统计学意义(P<0.05)。

1.2 方法

1.2.1 血液指标 采集所有研究对象的清晨空腹血,采用全自动生化分析仪(西门子 ADVIA 2400) 检测空腹血糖(fasting blood sugar, FBS)、糖化血红蛋白(glycated hemoglobin, GHb)、甘油三酯(triglyceride, TG)、总胆固醇(total cholesterol, TC);采用化学发光法(DADE-AR全自动分析仪)检测胰岛素水平;采用二硫代硝基苯甲酸比色法检测谷胱甘肽过氧化物酶(glutathione peroxidase, GSH-Px);采用黄嘌呤氧化酶法检测超氧化物歧化酶(superoxide dismutase, SOD);采用硫代巴比妥法检测丙二醛(maleic dialdehyde, MDA)。

1.2.2 皮肤 E2F6蛋白定性和定量表达测定 常规皮肤消毒,切至真皮组织,取长约为 0.5 cm,厚约 0.2 cm的皮肤组织。采用免疫组化 SP 法检测皮肤组织的 E2F6蛋白,羊抗人 E2F6单克隆抗体(美国 Santa Cruz公司),E2F6阳性染色为黄色或棕黄色,表达部位在细胞质和(或)细胞核。阳性细胞的染色强度按无色、浅黄色、黄色和棕黄色分别计为 0、1、2、3分;阳性细胞数计分:无阳性细胞 0分,1%~10%计1分,11%~50%计2分,51%~80%计3分,≥81%计4分;染色强度和阳性细胞数的乘积 0~3分为阴性,≥4分为阳性。采用 CMIAS 真彩色病理图像分析系统进行形态学定量分析表达强度。

1.3 统计学处理

采用 SPSS21.0 软件, 计量资料以 $(\bar{x}\pm s)$ 表示, t 检验或单因素方差分析; 计数资料以率表示, χ^2 检

作者单位

1. 海口市人民医院 神经内科 海南 海口 570208 2. 广东药科大学附 属第一医院神经内 广州 510008 3. 海口市人民医院 西院内科 海南 海口 570208 4. 湖南省第二人民 医院神经内科 长沙 410007 收稿日期 2018-11-03 通讯作者 向光红 zhg3211596@

163.com

验;P<0.05为差异有统计学意义。

2 结果

2.1 各组生化指标情况

无病变 DM 组及 DPN 组的 FBS、GHb、空腹胰岛素、TG 和 TC水平均明显高于对照组(均P<0.05)。DPN组的GHb、空腹 胰岛素、TG、TC水平均高于对照组(均P<0.05),无病变DM组 及DPN组FBS差异无统计学意义(P>0.05),见表1。

表1 各组的生化指标比较(x±s)

组别	例数 FBS	S/(mmol/L)	GHb/%
对照组	80 4.	.31±1.22	4.28±0.54
无病变DM组	80 11.	.66±3.39 [©]	$9.79\pm2.31^{\odot}$
DPN组	80 12.	.89±4.51 [©]	13.84±3.35 ^{©2}
组别	空腹胰岛素/(mIU/L)	TG/(mmol/L)	TC/(mmol/L)
对照组	8.89±2.75	1.28±0.32	4.34±1.33
		1.20-0.52	1.5 1-1.55
无病变DM组	12.96±3.11 [©]	3.79±1.19 [©]	6.38±1.28 [©]

注:与对照组比较, ${}^{\circ}P < 0.05$;与无病变DM组比较, ${}^{\circ}P < 0.05$

2.2 各组氧化应激指标及皮肤 E2F6蛋白表达比较

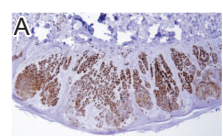
与对照组比,无病变 DM 组、DPN 组的 SOD、GSH-PX 和 E2F6蛋白水平较低,MDA水平较高(P<0.05);与无病变DM组 比, DPN组的SOD、GSH-PX和E2F6蛋白水平较低, MDA水平 较高(P<0.05),见表2、图1。

表2 各组氧化应激指标及E2F6蛋白比较

组别	例数	SOD/	GSH-PX/
		$(mg/L, \bar{x}\pm s)$	$(mg/L, \bar{x}\pm s)$
对照组	80	126.25±24.23	224.07±32.08
无病变DM组	80	$106.88 \pm 13.58^{\odot}$	179.33±30.59 [©]
DPN组	80	79.64±18.75 ^{©2}	143.26±23.88 ^{©2}
20 Dil	MDA/	E2F6	
组别	$(\text{nmol/L}, \bar{x} \pm s)$	阳性率/[例(%)]	蛋白定量/(x±s)
对照组	12.76±1.67	50(62.50)	0.24±0.15
无病变DM组	17.63±3.64 [©]	37(46.25) ^①	0.15±0.13 [©]

注:与对照组比较,[©]P<0.05;与无病变DM组比较,[©]P<0.05

24(30.00) 102



DPN组





 $0.07\pm0.12^{\odot2}$

注:(A)对照组,(B)无病变DM组,(C)DPN组 图1 各组皮肤的E2F6蛋白比较

25.24±3.31^{©2}

3 讨论

由于长期未控制高血糖,引发微循环改变、神经营养因子缺 乏、自身免疫异常和过量氧化自由基产生等因素而导致 DPN[5]。 DM患者产生大量的活性氧簇,激活应激反应元件细胞凋亡通 路,并抑制细胞色素氧化酶,影响葡萄糖代谢(6)。研究表明(7),醛 糖还原酶抑制剂可减轻氧化应激,改善DPN。

核转录因子E2Fs家族可调控细胞有丝分裂,并结合一系 列下游基因启动子,与细胞增殖分化、凋亡等重要生命活动有 关^[8]。E2F6是E2Fs家族的一员,其可抑制DNA损伤诱导的细 胞凋亡作用。相关研究显示,缺氧条件下,E2F6 mRNA和/或蛋 白表达降低^[9]。但E2F6在DPN的表达尚未见报道。在本研究 中,对照组、无病变DM组、DPN组皮肤的E2F6阳性率分别为 62.50%、46.25%和30.00%, 呈递减趋势, 提示 E2F6 表达下调使 下游基因受到影响,引起细胞周期调控异常。在本研究中,与对 照组比,DM患者外周血的SOD和GSH-PX水平较低,MDA水 平较高;与无病变 DM 组比, DPN 组外周血 SOD 和 GSH-PX 水 平较低, MDA 水平较高, 提示 DPN 患者的机体氧化应激反应增 强。DM患者的氧化应激反应增强,E2F6蛋白水平降低,引起 微循环障碍,造成神经营养失调,从而导致 DM 神经损伤,继而 出现典型神经病变症状[10]。因此,皮肤组织的E2F6和外周血的 SOD、GSH-PX 和 MDA 水平有助于判断 DPN 患者的病情。但 皮肤组织 E2F6 蛋白检测具有侵入性,较难推广,关于皮肤组织 E2F6蛋白与DPN的机制仍需进一步研究。

参考文献

- [1] 尚国涛,任利. 中西医联合治疗糖尿病周围神经病变的疗效及对氧 化应激的影响[J]. 临床医学研究与实践, 2018, 3: 114-115.
- [2] 贺娟, 周珺, 罗晓红. 糖尿病周围神经病变相关血清标记物研究进展 [J]. 中国临床研究, 2018, 31: 682-684.
- [3] 于冰, 俞娉, 吴春丽. 桂哌齐特对糖尿病周围神经病变患者的神经功 能及预后的影响分析[J]. 中国农村卫生事业管理, 2018, 38: 686-688.
- [4] 中国2型糖尿病防治指南(2017年版)[J]. 中国实用内科杂志, 2018, 38: 292-344.
- [5] 黄婴婷, 戴标. 2型糖尿病周围神经病变的危险因素分析及治疗对策 研究[J].中外医学研究, 2018, 16: 65-66.
- [6] 白云. 糖尿病慢性并发症的中医治疗进展[J]. 中外医学研究, 2018, 16: 185-186
- [7] 苏晓清, 谢勇丽. 糖尿病周围神经病变的治疗[J]. 医学信息, 2018, 31: 1-2.
- [8] 曹燕飞, 任睿, 杨晔, 等. miR-185通过调控 E2F6 抑制肺鳞癌细胞增 殖和侵袭[J]. 第三军医大学学报, 2017, 39: 123-129.
- [9] 焦延延,姜崴. FGF19与糖尿病炎症反应和氧化应激的相关研究[J]. 临床与病理杂志, 2018, 38: 623-627.
- [10] 王乐, 牛国栋. 初诊2型糖尿病合并周围神经病变与氧化应激和炎 性反应的关系研究[J]. 糖尿病新世界, 2017, 20: 169-170.

(本文编辑:唐颖馨)